



مَجَلَّةُ الْبُحُوثِ الْهَنْدَسِيَّةِ

1991

الكانون (ديسمبر)

العدد الثاني

مجلة البحوث الهندسية تصدر دوريًا عن مركز بحوث العلوم الهندسية - طرابلس / الجمهورية

- 1 - مقارنة بين استعمال طريقة المعاملات والطريقة المباشرة في تصميم البلاطات الخرسانية المسلحة ذات الاتجاهين والمحمولة على عوارض
محمود عبد الرحمن القلهود
- 2 - التغير في القصور الذاق للذراعيات مستطيلة القطاع
مصطففي محمد الطويل
- 3 - دراسة صخور خواص البازلت واستخداماتها في الخلطات الخرسانية
محمد ابو عجيلة المبروك والسنوسى عبد الوهاب الأزهري
- 4 - التطورات الحديثة في تحليل الصفائح والقشريات
صالح يحيى الباروني والطاهر فناية
- 5 - تأثير درجات حرارة الدمك والاختبار على خواص مارشل لتصميم الخلطة الاسفلتية
محمد الشتيوى عمر
- 6 - التحلية كحل لمشاكل المياه بمدينة طرابلس
محمد عبدالله المتصر وحسن مختار زايد
- 7 - الترجمة والتعریف في الجمهورية
أحمد مختار بريرة وفخری اسكندر
- 8 - نموذج رياضي لتقدير البرامج التدريبية الفنية
عبد القادر الصادق عکی وموسى محمد موسى وفتحی رجب العکاری
- 9 - التحليل العددی لتدفق على أسطح مائلة (باللغة الانجليزية)
جعیة محمد الفلاح
- 10 - تحليل الصفائح الموضوعة على اساسات مطاطية (باللغة الانجليزية)
السنوسى عبد الوهاب الأزهري.

التغير في القصور الذاتي للذراعيات مستطيلة القطاع

د. مصطفى محمد الطويل

أستاذ الهندسة المدنية

قسم الهندسة المدنية - كلية الهندسة - جامعة الفاتح

1 - مقدمة

الانشاء على اعتبار أنها مستطيلة القطاع ومتغيرة العمق تغيراً خطياً في ما بين الطرف الحر والطرف الثابت، وتعرضة لتأثير ثلاثة أحمال مختلفة عليها حيث يتم استنتاج دوال جبرية تعطى العمق البديل والذي يمثل عنصراً مماثلاً للعنصر الأصلي ولكنه ثابت القصور الذاك يسهل التعامل معه على أساس العنصر الواحد.

2 - تشكل الطرف الحر في الذراعيات ثابتة القصور الذاك

يمثل الدوران والازاحة في الطرف الحر للذراعيات القييم القصوى لهذه التشكيلات عبر العنصر الانشائى في حالة التعرض للأحمال ذات التأثير الانحنائى الواحد، ويتم هنا دراسة ثلاثة أنواع من هذه الأحمال (شكل 2 - 1)، وترمز الرموز إلى ما يلى:

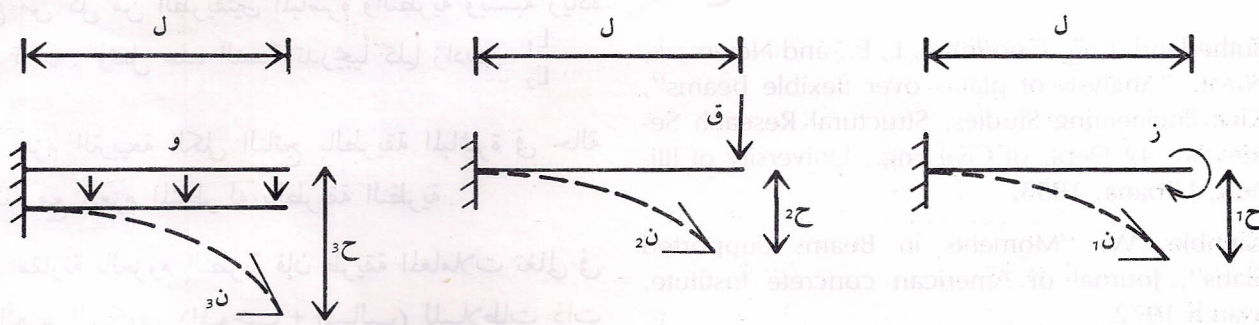
ز عزم انحناء مركز عند الطرف الحر.
ق قوة مركز عند الطرف الحر متامة على محور الذرعة الطولى.

و قوة موزعة بانتظام وثابتة على الطول الكامل للذراعية.

تشتمل الانشاءات الهندسية بصفة عامة على عناصر كالقواعد والأعمدة والعوارض والذراعيات والأسقف والأرضيات والجدران والأسطح المستوية والمنحدرة، ولكل عنصر من هذه العناصر الخواص الالزمة لقطاعاته التي تمثله.

إن القصور الذاك ضروري جداً لمعرفة دوران وإزاحة أية نقطة واقعة على العنصر المعرض للأحمال الواقع عليه بصفة مباشرة أو غير مباشرة، وكذلك للتعامل مع الانشاءات التي لا يمكن إيجاد ردود الفعل الخارجية أو القوى الداخلية فيها أو الاثنين معًا عن طريق استعمال قوانين السكونيات وحدتها والتي يشار لها بالانشاءات غير المحددة سكونياً. يعتمد القصور الذاك لعنصر انشائى على أبعاد قطاعاته، وبالتالي سيكون مقداره ثابتاً إذا ثبتت الأبعاد أو متغيراً إذا تغيرت، ومن السهل التعامل مع العناصر ثابتة المقطع إلا أنه يصعب في بعض الحالات عندما يكون القطاع متغيراً مما يضطر محلل الانشائى إلى استعمال حلول تقريرية من أجل الوصول إلى الحل الكامل والمطلوب.

تعرض هذه الورقة إلى الذراعيات، وهي العوارض المشبطة في أحد أطرافها وحرفة في الطرف الآخر، عنصر من عناصر



شكل (2 - 1) تحميل الذراعيات

يمكن حساب القصور الذاتي للقطاع (٤-٣) والذي يبعد مسافة (س) عن الطرف الحر للذراعية حول المحور الأفقي

١ - ① كما يلى:

$$\text{مسه} = \frac{\text{ض ع}^3}{12}$$

وحيث أن القصور الذاتي عند الطرف الحر هو:

$$\text{مسه} = \frac{\text{ض ع}^3}{12}$$

فتشكل العلاقة بين القيمتين هي:

$$\text{مسه} / \text{مسه} = (\text{ع}^3 / \text{ع}^3)$$

إن العلاقة التي تربط التقوس بعزم الانحناء عند القطاع (س) هي:

$$\text{ض ع} / \text{مسه}^2 = -(\text{ن سه} / \text{ي رسه})$$

$$\text{أو } (\text{ي ره})(\text{ض ع} / \text{مسه}^2) = -\text{رسه}(\text{ره} / \text{رسه}) \dots \dots \dots \quad (1-3)$$

حيث $\text{ض ع} / \text{مسه}^2$ التفاضل الثاني للإزاحة (ع) بالنسبة للمتغير المستقل (س)

عزم الانحناء عند (س) والناتج من نرسه
الحمل المؤثر على الذراعية.

ويتكامل المعادلة التفاضلية العاديّة (١-٣) مرتين بالنسبة للمتغير (س)، وبمعرفة المعلميات الحدودية للذراعية ومنها الدوران والإزاحة عند الطرف الثابت والتي تساوى صفرًا، فيمكن استنتاج الدوران (ن) والإزاحة (ع) لأى نوع من الأحمال.

$$\text{حيث } \text{n} = \text{ض ع} / \text{مسه}$$

ولكى يتم تكامل المعادلة (١-٣) يجب معرفة تغير (مسه) بالنسبة للمتغير (س)، وعليه فقد تم اتباع الخطوات التالية:

نجد من تغير عمق القطاع (شكل ٣-١) أن:

$$\text{مسه} / \text{l} = (\text{ع}^3 - \text{ع}^0) / (\text{ع}^0 - \text{ع}^3)$$

وإذا افترض أن:

$$(\text{ع}^0 - \text{ع}^3) / \text{ع}^0 = \text{م}$$

$$\text{فإن: } \text{مسه} / \text{l} = (\text{ع}^3 - \text{ع}^0) / \text{م ع}^0$$

$$\text{أو } \text{مسه} / \text{l} = (\text{ع}^3 / \text{ع}^0 - 1) / \text{م}$$

$$\text{أى أن } \text{ع}^3 / \text{ع}^0 = \text{م} (\text{مسه} / \text{l}) + 1$$

$$\text{ولكن } \text{مسه} / \text{مسه} = (\text{ع}^3 / \text{ع}^0)^3$$

$$\text{مسه} / \text{مسه} = [(\text{مسه} / \text{l}) + 1]^3$$

نجد من المبادئ الأساسية لحساب التشكلات في الذراعيات ثابتة القصور الذاتي القيم التالية:

$$\text{n}_1 = \text{نسل} / \text{ي ر}$$

$$\text{n}_2 = \text{قل}^2 / \text{ي ر}$$

$$\text{n}_3 = \text{ول}^3 / \text{ي ر}$$

$$\text{ح}_1 = \text{نسل}^2 / \text{ي ر}$$

$$\text{ح}_2 = \text{قل}^3 / \text{ي ر}$$

$$\text{ح}_3 = \text{ول}^4 / \text{ي ر} \dots \dots \dots \quad (1-2)$$

حيث $\text{n}_1, \text{n}_2, \text{n}_3$ الدوران عند الطرف الحر للذراعيات.
 $\text{ح}_1, \text{ح}_2, \text{ح}_3$ الإزاحة الرأسية عند الطرف الحر للذراعيات.

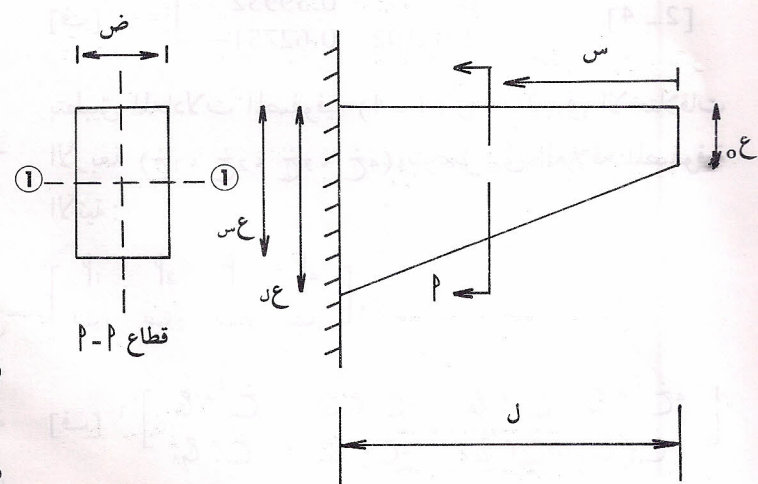
ل طول الذراعية.

ي معامل يانغ للمرنة.

ر عزم القصور الذاتي لقطاع الذراعية.

٣ - الذراعيات ذات القطاع المستطيل متغير العمق خطياً

تقتصر هذه الدراسة على التعرض للذراعيات مستطيلة القطاع بعرض ثابت ويتغير خطياً في العمق ويزيد العمق في ما بين الطرف الحر والي غاية الطرف الثابت (شكل ٣-١).



شكل (٣-١) أبعاد الذراعية

يمثل الجزء الثابت (ج) في دالة تقريرية للمتغير ($\text{س}/\text{ل}$)، أي
ان:

$$\text{س}/\text{ل} \equiv \text{ج} - \text{د}(\text{م})$$

وباعتبار أن $\text{d}(\text{m}) = \text{M}^2 + \text{B} \cdot \text{M}$
فإنه يمكن ايجاد الثوابت M وباستعمال طريقة المربعات
الأقل للأخطاء وفي صورة المصفوفات بالشكل الآتي:

$$\{\text{B}\} = \begin{bmatrix} \text{ج}^4 \text{M}^3 & \text{ج}^4 \text{M}^4 \\ \text{ج}^3 \text{M}^2 & \text{ج}^3 \text{M}^3 \end{bmatrix}$$

$$\left\{ \begin{array}{l} \text{ج}^4 \text{M}^2 > (\text{m}) \\ \text{ج} \text{M} > (\text{m}) \end{array} \right\} \dots \dots \dots (1-4)$$

حيث ج تمثل مجموع الفئات المعطاة.

إن المصفوفة المربعة في المعادلة (1-4) تعتبر ثابتة لكل حالات التحميل حيث كونها تمثل فقط خاصية شكلية للذراعية، ويعطى الجدول (1-4) عناصر هذه المصفوفة.

وإذا رمز لهذه المصفوفة بالرمز [ف]، فإن معكوس هذه المصفوفة [ف]⁻¹ يمكن تحديده بأي طريقة من الطرق المعروفة:

$$[\text{f}]^{-1} = \begin{bmatrix} 24.2000 & 40.5328 \\ 15.4000 & 24.2000 \end{bmatrix}$$

$$[\text{f}]^{-1} = \begin{bmatrix} 0.62751 & 0.39932 \\ 1.05102 & 0.62751 \end{bmatrix} \dots \dots \dots (2-4)$$

بتطبيق المعادلات المصفوفية (1-4) و(2-4) في الاختلافات الأربع ($\text{x}_1, \text{x}_2, \text{x}_3, \text{x}_4$) نتوصل إلى العلاقة المصفوفية الآتية:

$$[\text{B}] = \begin{bmatrix} \text{B}^4 & \text{B}^3 & \text{B}^2 & \text{B} \\ \text{B} & \text{B}^2 & \text{B}^3 & \text{B}^4 \end{bmatrix}$$

$$[\text{f}]^{-1} = \begin{bmatrix} \text{ج}^4 \text{M}^2 \text{x}_1 & \text{ج}^4 \text{M}^2 \text{x}_2 & \text{ج}^4 \text{M}^2 \text{x}_3 & \text{ج}^4 \text{M}^2 \text{x}_4 \\ \text{ج}^3 \text{M} \text{x}_1 & \text{ج}^3 \text{M} \text{x}_2 & \text{ج}^3 \text{M} \text{x}_3 & \text{ج}^3 \text{M} \text{x}_4 \end{bmatrix}$$

$$\text{أو } [\text{ث}] = [\text{f}]^{-1}[\text{x}] \dots \dots \dots (3-4)$$

يبين الجدول (3-2) عناصر المصفوفة [x] في المعادلة المصفوفية (3-3)، وبالقيام بعمليات الضرب يتم التوصل إلى الدوال التقريرية التالية للاختلافات:

وتصبح المعادلة (3-1) في صورة:
 $(\text{س}/\text{ل})(\omega^2 \text{M} / \text{س}^2) = -\text{رسه} / [\text{M}(\text{س}/\text{ل}) + 1]^3 \dots \dots \dots (2-3)$

تعطى الجداول (1-3, 2-3, 3-3) الكميات الفعلية للدوران والازاحة عند الطرف الحر للذراعيات في العمودين الثاني والخامس على التوالي، ولكل حمل من الأحمال المشار إليها في شكل (2-1) وذلك بعد تكامل المعادلة التفاضلية العادية (3-2) وبعشر قيم للمتغير (m).

إن هذه القيم الفعلية للدوران والازاحة لو وضعت في المعادلات (2-1) لأمكن استنتاج قيم عزم القصور الذاق الثابت (m) لذراعية بديلة، ومن المعلوم أن هذه القيم ستقع في ما بين (m_0 و m_1).

حيث مرد عزم القصور الذاق للقطاع عن الطرف المثبت للذراعية. ولتحديد موقع العمق البديل يتم تعويض قيم (m) في قيم (رسه) في العلاقات التالية:

$$\text{رسه}/\text{l} = (\text{رسه}/\text{l})/\text{M}$$

$$\text{رسه}/\text{l} = \sqrt[3]{\text{رسه}/\text{l}}/\text{M} \dots \dots \dots (3-3)$$

تعطى الجداول (1-3, 2-3, 3-3) قيم ($\text{رسه}/\text{l}$) حيث موقع العمق البديل وذلك في العمودين الثالث والسادس. كما يعطى العمودان الرابع والسابع الفروقات بين هذه القيم وموقع المركز الهندسي لتبيان عزم الانحناء وتبيان تكامله، كما هو مبين بالرسومات المرافقة للجدائل.

4 - استنتاج العمق التقريري البديل للعنصر متغير القصور الذاق

يلاحظ من الرسومات المرافقة للجدائل (1-3, 2-3, 3-3) أن المركز الهندسي لتبيان عزم الانحناء وتبيان تكامل هذه العزوم تتبع نظاماً معيناً وتعتمد كما هو معلوم على نوعية التحميل. كما يلاحظ من الجداول أن العمق البديل للإزاحة في الجدول (3-1) هو نفس العمق البديل للدوران في الجدول (3-2) وأن العمق البديل للإزاحة في الجدول (3-2) هو نفس العمق البديل للدوران في الجدول (3-3) وهكذا.. وقد جاء ذلك لتشابه التباين المرفقه ذات العلاقة. إذا تم الانطلاق من أن موقع المركز الهندسي للتبيان المعنى

نتيجة الأعمال المعطاة في هذه الدراسة.

ان التحليل العددى المتعارف عليه في تحليل الذراعيات متغيرة القصور الذائق يتمثل في تقسيم العنصر الأصلى إلى عناصر صغيرة ويعتبر القصور الذائق لهذه العناصر ثابتًا ومساويًا لذلك عند منتصفها أو عند أحد أطرافها. وتزداد الدقة كلما ازداد عدد هذه العناصر. أما هنا فعنصر بديل واحد يمكن الحصول على نتائج جيدة وبأخطاء صغيرة مقبولة هندسياً، وذلك يوفر كثيراً في زمن التحليل وتكليفه سواء العادى منه أو باستعمال طرق الحسب الآلى المختلفة.

Displacement	إزاحة
Diagram	بيان
Numerical Analysis	تحليل عددي
Deformation	تشكل
Curvature	تقوس
Linear function(s)	خطى دالة (دواى)
Rotation	دوران
Cantilever	ذراعية
Statics	سكنونيات
End	طرف
Free end	طرف حر
Fixed end	طرف مثبت
Beam(s)	عارضه (عوارض)
Bending Moment	عزم انحناء
Element	عنصر
Statically Indeterminate	غير محدد سكونيا
Inertia	قصور ذاتي
Force	قوة
Axis	محور
Least squares	مربعات أقل
Centroid	مركز هندسى
Elasticity	مرنة
Matrix	مصفوفة
Boundary conditions	معطيات حدودية
Inverse	معكوس

$$(4-4) \dots \dots \dots \begin{cases} x_1 = 0.029 - 0.143m^2 \\ x_2 = 0.017 - 0.096m^2 \\ x_3 = 0.012 - 0.064m^2 \\ x_4 = 0.009 - 0.045m^2 \end{cases}$$

بناء على ما تقدم يكون العمق التقريري البديل للقطاع في كل حالة كما يلى:

$$\begin{cases} (س/ل)_1 = 2/1 - x_1 \\ (س/ل)_2 = 3/2 - x_2 \\ (س/ل)_3 = 4/3 - x_3 \\ (س/ل)_4 = 5/4 - x_4 \end{cases} \begin{cases} 2/1 = 0.029 + 0.143m^2 \\ 3/2 = 0.017 + 0.096m^2 \\ 4/3 = 0.012 + 0.064m^2 \\ 5/4 = 0.009 + 0.045m^2 \end{cases}$$

بدراسة العلاقات (4 - 5) توصل الكاتب إلى وضع المعادلة العامة التالية لتحديد العمق التقريري البديل للذراعيات متغيرة القصور الذائق بقطاع مستطيل:

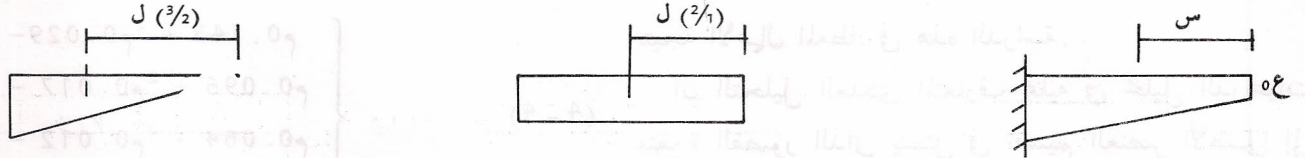
$$(س/ل)_{ت+1} \approx \left[\frac{1}{m^{24+35}} t^{2+2t} - \frac{1}{m^{7+7t}} t^{1+2t} \right] \dots \dots \dots \quad (5-4)$$

حيث $t = 0, 1, 2, \dots$

يبين الجدول (4 - 3) نسبة الخطأ في ما بين العلاقة التقريرية المستخدمة للقيم (س/ل) من المعادلة (4 - 6) لأربع قيم من المتغير (ت) وقيم (س/ل) الفعلية المعطاة في الجداول (1-3، 2-3، 3-3). كما يبين الجدول (4-4) نسبة الخطأ في القيم القصوى لتشكيلات الطرف الحر للذراعيات باستعمال العلاقة التقريرية (4 - 6) أيضاً والقيم الفعلية المعطاة في نفس الجداول المشار إليها.

5 - الخلاصة:

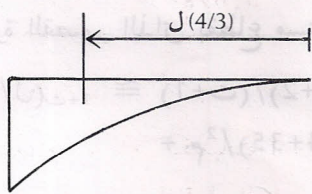
تم في هذه الورقة استنتاج علاقة تقريرية لتمثيل الذراعيات متغيرة القصور الذائق وبعمق متغير خطى بذراعيات بديلة ثابتة القصور الذائق. إن النتائج المتحصل عليها هنا تشير إلى فعالية هذه العلاقة من حساب التشكيلات القصوى للذراعيات



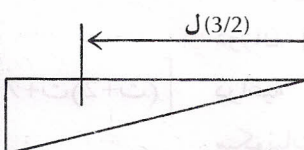
$\chi_2 = \frac{x}{L} - \frac{3}{2}$	(س/ل) ²	$\chi_1 = \frac{M}{EI} L^2$	$\chi_1 = \frac{x}{L} - \frac{2}{1}$	(س/ل) ²	$\chi_1 = \frac{M}{EI} L$	*
(7)	(6)	(5)	(4)	(3)	(2)	(1)
0,020	0,646	0,6944	0,030	0,470	0,7639	0,2
0,038	0,629	0,5102	0,056	0,444	0,6122	0,4
0,053	0,613	0,3906	0,078	0,422	0,5078	0,6
0,067	0,600	0,3086	0,097	0,403	0,4321	0,8
0,079	0,587	0,2500	0,113	0,387	0,3750	1,0
0,090	0,576	0,2066	0,128	0,372	0,3306	1,2
0,101	0,566	0,1736	0,141	0,359	0,2951	1,4
0,110	0,557	0,1479	0,154	0,346	0,2663	1,6
0,119	0,548	0,1276	0,164	0,336	0,2423	1,8
0,127	0,540	0,1111	0,174	0,326	0,2222	2,0

$$M = \frac{1}{E} \cdot \frac{dU}{dx}$$

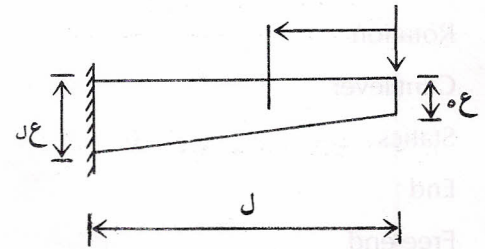
الجدول (3 - 1) الكميات الفعلية للدوران والازاحة الرأسية عند الطرف الحر تحت تأثير عزم مركز عند الطرف الحر.



بيان تكامل عزم الانحناء



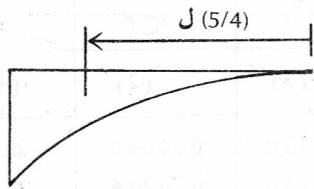
بيان عزم الانحناء



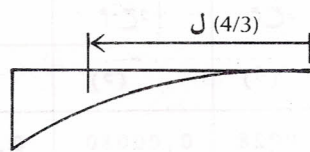
$\chi_3 = \frac{x}{L} - \frac{4}{3}$	(س/ل) ³	$\chi_2 = \frac{M}{EI} L^3$	$\chi_2 = \frac{x}{L} - \frac{3}{2}$	(س/ل) ²	$\chi_2 = \frac{M}{EI} L^2$	*
(7)	(6)	(5)	(4)	(3)	(2)	(1)
0,014	0,736	0,6623	0,020	0,646	0,6944	0,2
0,025	0,725	0,4660	0,038	0,629	0,5102	0,4
0,035	0,715	0,3429	0,053	0,613	0,3906	0,6
0,045	0,705	0,2612	0,067	0,600	0,3086	0,8
0,052	0,698	0,2044	0,079	0,587	0,2500	1,0
0,060	0,690	0,1636	0,090	0,576	0,2066	1,2
0,066	0,684	0,1334	0,101	0,566	0,1736	1,4
0,072	0,678	0,1104	0,110	0,557	0,1479	1,6
0,078	0,672	0,09266	0,119	0,548	0,1276	1,8
0,083	0,667	0,07865	0,127	0,540	0,1111	2,0

$$M = \frac{1}{E} \cdot \frac{dU}{dx}$$

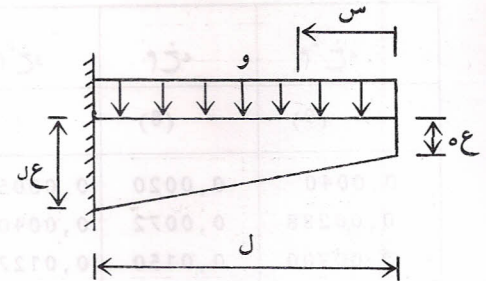
الجدول (3 - 2) الكميات الفعلية للدوران والازاحة الرأسية عند الطرف الحر تحت تأثير قوة رأسية مرکزة عند الطرف الحر.



بيان تكامل عزم الانحناء



بيان عزم الانحناء



$\frac{M}{L^4} \cdot \frac{R^5}{5} - \frac{M}{L^4}$	$(\frac{M}{L})^4$	$(\frac{M}{L})^3 \cdot \frac{R^4}{4}$	$\frac{M}{L^3} \cdot \frac{R^4}{4} - \frac{M}{L^3}$	$(\frac{M}{L})^3$	$(\frac{M}{L})^2 \cdot \frac{R^3}{3}$	$M^* = M - \frac{wL^4}{3}$
(7)	(6)	(5)	(4)	(3)	(2)	(1)
0,010	0,790	0,6438	0,014	0,736	0,6623	0,2
0,018	0,782	0,4419	0,025	0,725	0,4660	0,4
0,025	0,775	0,3179	0,035	0,715	0,3429	0,6
0,031	0,769	0,2373	0,045	0,705	0,2612	0,8
0,036	0,764	0,1822	0,052	0,698	0,2044	1,0
0,041	0,759	0,1434	0,060	0,690	0,1636	1,2
0,045	0,755	0,1150	0,066	0,684	0,1334	1,4
0,049	0,751	0,09376	0,072	0,678	0,1104	1,6
0,053	0,747	0,07754	0,078	0,672	0,09266	1,8
0,056	0,744	0,06493	0,083	0,667	0,07865	2,0

$$M^* = M - \frac{wL^4}{3}$$

الجدول (3 - 3) الكميات الفعلية للدوران والازاحة الرأسية عند الطرف الحر للذراعية تحت تأثير قوة موزعة بانتظام على الطول الكل لها.

M^4	M^3	M^2	M
0,0016	0,008	0,04	0,2
0,0256	0,064	0,16	0,4
0,1296	0,216	0,36	0,6
0,4096	0,512	0,64	0,8
1,0000	1,000	1,00	1,0
2,0736	1,728	1,44	1,2
3,8416	2,744	1,96	1,4
6,5536	4,096	2,56	1,6
10,4976	5,832	3,24	1,8
16,0000	8,000	4,00	2,0
40,5328	24,200	15,40	6

الجدول (4 - 1) عناصر المصفوفة المربعة في المعادلة (4 - 1)

| χ^2 |
|----------|----------|----------|----------|----------|----------|----------|----------|----------|
| (9) | (8) | (7) | (6) | (5) | (4) | (3) | (2) | (1) |
| 0,0040 | 0,0020 | 0,00056 | 0,0028 | 0,00080 | 0,0040 | 0,00120 | 0,0060 | 0,2 |
| 0,00288 | 0,0072 | 0,00400 | 0,0100 | 0,00608 | 0,0152 | 0,00896 | 0,0224 | 0,4 |
| 0,00900 | 0,0150 | 0,01278 | 0,0213 | 0,01908 | 0,0318 | 0,02808 | 0,0468 | 0,6 |
| 0,1984 | 0,0248 | 0,02848 | 0,0356 | 0,04288 | 0,0536 | 0,06208 | 0,0776 | 0,8 |
| 0,03600 | 0,0360 | 0,05200 | 0,0520 | 0,07900 | 0,0790 | 0,11300 | 0,1130 | 1,0 |
| 0,05904 | 0,0492 | 0,08640 | 0,0720 | 0,12960 | 0,1080 | 0,18432 | 0,1536 | 1,2 |
| 0,08820 | 0,0630 | 0,12936 | 0,0924 | 0,19796 | 0,1414 | 0,27636 | 0,1974 | 1,4 |
| 0,12544 | 0,0784 | 0,18432 | 0,1152 | 0,28160 | 0,1760 | 0,39424 | 0,2464 | 1,6 |
| 0,17172 | 0,0954 | 0,25272 | 0,1404 | 0,38556 | 0,2142 | 0,53136 | 0,2952 | 1,8 |
| 0,22400 | 0,1120 | 0,33200 | 0,1660 | 0,50800 | 0,2540 | 0,69600 | 0,3480 | 2,0 |
| 0,73652 | 0,4830 | 1,08262 | 0,7077 | 1,65056 | 1,0772 | 2,29560 | 1,5064 | ج |

الجدول (4 - 2) عناصر المصفوفة [خ] في المعادلة (3 - 4)

% نسبة الخطأ	القيمة التقريرية	% نسبة الخطأ						
0,13	0,791	0,14	0,737	0,15	0,647	0,64	0,473	0,2
0,13	0,783	-	0,725	-	0,629	0,68	0,447	0,4
0,13	0,776	0,07-	0,714	-	0,613	0,71	0,425	0,6
0,13	0,770	0,21-	0,704	0,33-	0,598	0,25	0,404	0,8
-	0,764	0,43-	0,695	0,51-	0,584	0,26-	0,386	1,0
-	0,754	0,43-	0,687	0,87-	0,571	0,54-	0,370	1,2
-	0,755	0,58-	0,680	1,06-	0,560	0,84-	0,356	1,4
-	0,751	0,59-	0,674	1,26-	0,550	0,29-	0,345	1,6
0,13	0,748	0,45-	0,669	1,09-	0,542	0,30-	0,335	1,8
0,27	0,746	0,30-	0,665	1,11-	0,534	0,92	0,329	2,0

الجدول (4 - 3) نسبة الأخطاء في قيم (س/ل) التقريرية (المعادلة 4 - 6).

3	00,21	005,45	8262,04
2,1	00,1	825,1	8260,5
2,1	00,1	825,1	8260,5
2,1	02,5	820,5	8222,0
2,1	02,5	820,5	8222,0
0,2	00,4	000,8	0000,00
3	00,21	005,45	8262,04

(٨) ره / ول ^٤ ح ^٣		(٣) ره / ق ل ^٣ ح ^٢		(٢) ره / ز ل ^٢ ح ^١		(١) ره / ق ل ^٢ ح ^١			
% الخطأ	القيمة التقريرية	% الخطأ	القيمة التقريرية	% الخطأ	القيمة التقريرية	% الخطأ	القيمة التقريرية		
0,03-	0,6436	0,05-	0,6620	0,03-	0,6942	0,18-	0,7625	0,2	
0,07-	0,4416	0,04-	0,4658	0,04-	0,5100	0,28-	0,6105	0,4	
0,06-	0,3177	0,06	0,3431	0,05	0,3908	0,37-	0,5059	0,6	
0,13-	0,2370	0,23	0,2618	0,29	0,3095	0,12-	0,4316	0,8	
--	0,1822	0,44	0,2053	0,64	0,2516	0,16	0,3756	1,0	
0,07-	0,1433	0,67	0,1647	1,16	0,2090	0,45	0,3321	1,2	
0,09-	0,1149	0,75	0,1344	1,44	0,1761	0,71	0,2972	1,4	
0,11-	0,0937	0,91	0,1114	1,76	0,1505	0,45	0,2675	1,6	
0,13-	0,0774	0,76	0,0934	1,65	0,1297	0,21	0,2428	1,8	
0,46-	0,0646	0,51	0,0791	1,80	0,1131	1,26-	0,2194	2,0	

الجدول (4 - 4) نسبة الأخطاء في قيم التشكيلات القصوى التقريرية للطرف الحر فى الذراعيات (انظر الجداول 1 - 3 ، 2 - 3 ، 3 - 3).